

## 論 文

## 再現期間別 設計有効雨量의 持續期間決定

A Determination of the Design Rainfall Durations of Various Recurrence Intervals

尹 龍 男\*

Yoon, yong Nam

全 炳 浩\*\*

Jun, Byong Ho

## Abstract

Many methods of estimating design floods from rainfall data involve a trial and error procedure to determine the duration of the design rainfall, which is very complicated and time-consuming. In this study, an effort was given to derive an analytical expression for estimating the appropriate duration for use with a particular unit hydrograph. According to the so-derived analytical expression the coordinates of hydrograph curve and rainfall curve for the Musim Representative Basin were computed and then plotted on a same scale graph paper on which the critical durations of design rainfall excess of various recurrence intervals were determined by the point of intersection of the two curves.

## 要 旨

降雨資料로 부터 設計洪水量을 推定하는 많은 方法들은 設計降雨量의 持續期間 決定에 매우 複雜한 試行錯誤法을 使用하고 있으나, 本 研究에서는 瞬間單位流量圖 理論을 適用한 解析的 方法에 依하여 近似 持續期間을 決定하는 方法을 理論的으로 展開하였다.

이렇게 誘導된 方法를 無心川 代表流域에 適用하여 交点流量比曲線(hydrograph curve)과 再現期間別設計降雨曲線(rainfall curve)을 計算하고, 그 結果를 同一 座標上에 그려 그 交点이 表示하는 有効雨量 持續期間을 決定하였다.

## 1. 序 論

設計洪水量의 算定을 위한 各種 確定論의 方法은 實제에 있어서 非線型인 降雨와 流出間의 関係를 流域의 線型性假定을 前提로 하여 設計降雨를 適用하면서 各種 水工構造物의 設計에 基準이 되는 洪水量 決定을 하고자 하는 것이다. 이들 方法中 実務에 많이 適用되고 있는 것으로서는 U.S. S.C.S Method<sup>(1)</sup>, Chow Method<sup>(2)</sup>, Pullen Method<sup>(3)</sup>, Cordery and Webb<sup>(4)</sup>等이 있으며 이는 根本的으로 單位 流量圖 概念에 그 基礎를 두고 있다.

單位圖에 의한 設計洪水量의 決定을 위해서는 單位圖에 適用해야 할 設計 有効雨量의 크기와 時間의 分布가 決定되어야 함은 말할 것도 없다. 設計雨量의 크기

決定은 通常 統計學的 解析(頻度解析)에 의하나, 有効雨量의 크기는 滲透条件에 따라 달라지며 그와 持續期間은 洪水體積의 時間的 分布에決定的인 影響을 미칠 뿐만 아니라, 尖頭洪水量의 크기에 重要한 影響을 미친다.

上述의 設計洪水量의 算定方法에서는 有効雨量의 持續期間을 여러 가지로 假定하여 單位圖 適用에 의해 最大 尖頭洪水量을 發生시키는 持續期間을 決定하는 이론과 試行錯誤法을 使用하고 있으나, 여기서는 瞬間單位流量圖 理論을 適用하여 解析的인 方法에 의해 有効雨量의 設計持續期間을 決定하는 方法을 理論的으로 展開한 후, IHP(國際水文開發計劃) 代表流域인 無心川 代表流域(Fig. 1)의 單位圖와 設計雨量 資料에 適用해 보고자 한다.

\* 本学会 理事・陸士副教授(工博)

\*\* 正会員・陸士専任講師

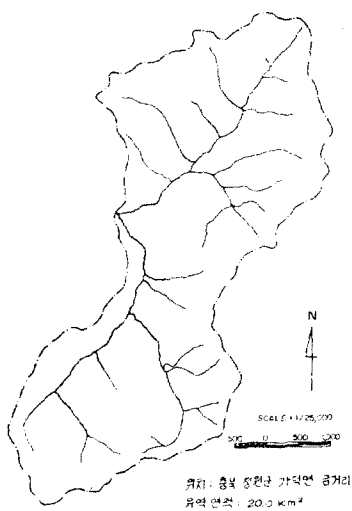


FIG. 1. MUSIM REPRESENTATIVE RIVER BASIN.

## 2. 理論的 構造

流域의 線型性을 假定하면 D-hr 単位図의 尖頭流量은 有効雨量의 持続期間인  $D$  가 커짐에 따라 작아지는 반면, 特定 再現期間에 대한 設計雨量은  $D$ 에 따라 커지게 되므로 有効設計雨量을 単位図에 通用하여 尖頭洪水量을 實제로 計算하여, 서로 比較함으로서 어느 持続期間이 最大 尖頭洪水를 發生시키는가를 알 수 있게 된다.

아래의 理論的 展開에서는 有効雨量에 대한 流域의 反応을 線型으로 보아, 単位図 假定한 一定基底時間假定, 比例假定 및 重骨假定이 그대로 通用되는 것으로 본다.

單位図의 線型 重骨假定을 通用하면 D-hr 単位図는 該當 流域의 瞬間單位図 (instantaneous unit hydrograph, IUH)로 부터 쉽게 誘導될 수 있으며<sup>(5)</sup>, 式의 形態를 表示하면 두 単位図間의 関係는 다음과 같다.

$$U(D, t) = \frac{1}{D} \int_{t-D}^t U(o, t') dt \quad (1)$$

여기서  $U(D, t)$ 는 持続期間이  $D$  時間인 単位図이며  $U(o, t')$ 는 流域의 瞬間單位図이다.

한편 流域에 내린 単位有効雨量 ( $1cm$ )으로 인한 總流出口容積은 IUH 아래의 面積이 된다. 即,

$$V(t) = \int_0^t U(o, t') dt \quad (2)$$

式(1), (2)를 利用하면,

$$U(D, t) = \frac{1}{D} \{ V(t) - V(t-D) \} \quad (3)$$

$D$  時間동안에 내린 単位有効雨量으로 인한 洪水水文曲線의 頂點流量은  $t = t_p$  (여기서  $t_p$ 는 尖頭流量點까지의 時間) 일때 發生하며, 다음 式으로 表示할 수 있다.

$$\frac{d}{dt} \{ U(D, t) \} = 0 \quad (4)$$

式(1)을 時間( $t$ )에 關해 微分한 후, D-hr 単位図의 尖頭流量 到達時間  $t_p$ 를 解析的으로 表示해 보면

$$U(o, t_p) = U(o, t_p - D) = 0 \quad (5)$$

式(5)의 조건을 그림의 形態로 表示해 보면 Fig. 2와 같다.

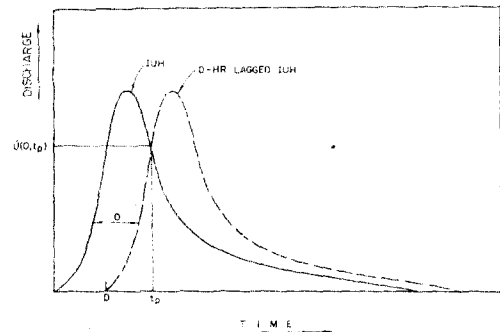


FIG. 2. GRAPHICAL DETERMINATION OF TIME TO PEAK DISCHARGE.

持続期間이  $D$  時間인  $R_o$ 의 有効雨量으로 부터 얻어지는 尖頭流量의 크기는

$$Q_p = R \cdot U(D, t_p) \quad (6)$$

이다.

한편 總雨量과 有効雨量의 差인 損失雨量은 初期損失量 (initial loss) IL과 平均浸透率  $f$ 로 降雨繼續期間 동안 생기는 浸透損失量으로構成되어며 (Fig. 3参照) 다음 関係가 成立된다.

$$R = D \cdot (I_t - f) \quad (7)$$

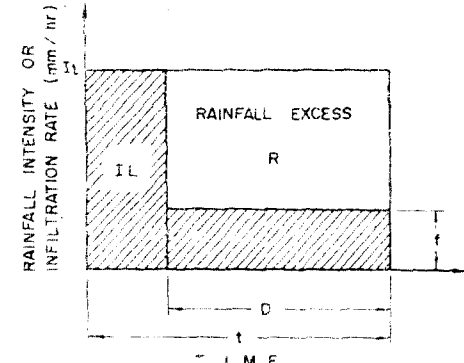


FIG. 3. RAINFALL LOSS AND EXCESS.

여기서  $I_t$ 는 持続期間  $t$ 인 設計降雨強度이다.

式(7)을 式(6)에 代入하면

$$Q_p = D(I_t - f) \cdot U(D, t_p) \quad (8)$$

이다.

한편 有効雨量의 持続期間과 各 有効雨量으로 인한 尖頭流量間의 関係는 一般的으로 Fig. 4와 같이 表示된다.

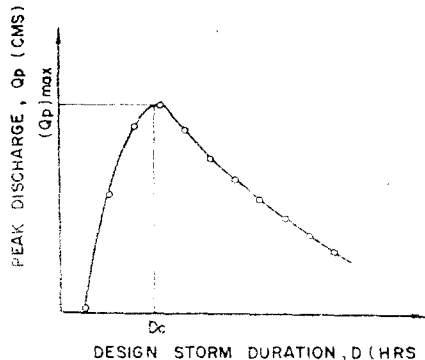


FIG. 4 PEAK DISCHARGE VS DESIGN STORM DURATION

Fig. 4의  $D_c$ 가 바로設計有効雨量의 持続期間이며,  $D_c$ 에 該當하는 最大流量( $Q_{p\max}$ )은 다음 式을 滿足시키는 点이다.

$$\frac{d}{dD} \{ Q_p \} = 0 \quad (9)$$

式(8)을  $D$ 에 關하여 微分하여 式(9)에 適用하면

$$\frac{d}{dD} \{ U(D, t_p) \} = -\frac{d}{dD} \{ D(I_t - f) \} \\ \frac{d}{dD} \{ U(D, t_p) \} = \frac{-1}{D} \{ V(t_p) - V(t_p - D) \} \quad (10)$$

이 되고, 式(3)을  $D$ 에 關하여 微分한 후  $t = t_p$ 로 等으면

$$\frac{d}{dD} \{ U(D, t_p) \} \\ = \frac{1}{D} \{ U(o, t_p - D) - \frac{1}{D} \{ V(t_p) - V(t_p - D) \} \} \quad (11)$$

이 된다.

式(5)의  $U(o, t_p) = U(o, t_p - D)$  關係와 式(3)의 關係를 式(11)의 右邊에 代入한 후, 式(11)의 左右邊을  $U(D, t_p)$ 로 나누면

$$\frac{d}{dD} \{ U(D, t_p) \} = \frac{1}{D} \frac{U(o, t_p)}{U(D, t_p)} - \frac{1}{D} \quad (12)$$

로 式(12)는 式(10)과 同一하다.

式(10)의 右邊은 雨量에 關한 項으로서  $f$ 는 平均浸透率로서 一定한 常數로 假定할 수 있으나,  $I_t$ 는 再現期間  $T$ 의 函數이고,  $D$ 는 損失雨量 IL에 따라 變하므로 式(10)의 右邊의 分子를 展開하면

$$-\frac{d}{dD} \{ D(I_t - f) \} = -\{ D \frac{dI_t}{dD} + (I_t - f) \} \quad (13)$$

이다.

式(13)을 式(10)의 右邊에 代入하고 이를 式(12)의 右邊과 함께 等고 整理하면

$$\frac{U(o, t_p)}{U(D, t_p)} = \frac{-D \frac{dI_t}{dD}}{(I_t - f)} \quad (14)$$

가 되어, 式(14)의 解가 바로 設計有効雨量의 持続期

間을 決定하게 되며 図式的으로 解를 求할 수 있다.

### 3. 交點流量比 曲線의 計算

設計有効雨量의 持続期間은 式(14)에 의해 決定되어 左邊은 流域의 單位圖 特性에 의하여 決定되므로 代表流域에 대하여 誘導된 單位流量圖를 利用하여 式(14)의 左邊值을 持続期間  $D$ 別로 求하기로 하였다.

1976年度 IHP 代表流域調查結果<sup>(6)</sup>로 얻어진 無心川 代表流域의 1-HR 單位圖의 縮距는 表-1과 Fig. 5에 表示하였다.

表-1 瞬間 單位流量圖의 誘導

時間 (hr)	1-HR 單位圖 縮距 (cm/sec)	Smoothed 1-HR 單位圖 縮距 (cm/sec)	時間 (hr)	1-HR 單位圖 縮距 (cm/sec)	1-HR 縮距 (cm/sec)	Smoothed 1-HR 縮距 (cm/sec)
0	0	0	23	0.80	0.90	0.70
1	0.10	0.20	24	0.75	0.60	0.65
2	0.30	0.40	25	0.70	0.80	0.61
3	0.50	0.60	26	0.65	0.50	0.58
4	1.20	1.80	27	0.60	0.70	0.55
5	1.90	2.00	28	0.56	0.42	0.50
6	3.00	4.00	29	0.51	0.60	0.47
7	4.10	4.20	30	0.46	0.32	0.44
8	4.70	5.20	31	0.42	0.52	0.40
9	4.90	4.60	32	0.40	0.28	0.37
10	4.70	4.80	33	0.37	0.46	0.34
11	4.10	3.46	34	0.33	1.20	0.33
12	3.10	2.80	35	0.30	0.40	0.30
13	2.60	2.40	36	0.27	0.14	0.27
14	2.20	2.00	37	0.24	0.34	0.24
15	1.80	1.60	38	0.21	0.08	0.21
16	1.60	1.60	39	0.18	0.28	0.18
17	1.40	1.20	40	0.15	0.02	0.15
18	1.20	1.20	41	0.12	0.22	0.12
19	1.20	1.20	42	0.09	0.04	0.09
20	1.00	0.80	43	0.06	0.16	0.06
21	0.90	1.00	44	0.03	0.10	0.00
22	0.85	0.70	45	0.08	0.10	

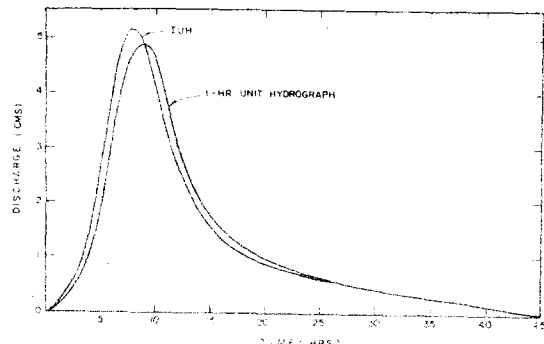


FIG. 5 1-HR UNIT HYDROGRAPH AND IUH

한 流域의 瞬間單位圖는 여려 가지 方法으로 誘導할 수 있으나 瞬間單位圖로 부터 D-hr 單位圖를 誘導하는 S-Curve 方法<sup>(7)</sup>의 逆原理를 使用하여 計算하였으며, 그 結果를 表-1과 表-2에 収錄하였다. 이와 같이 計算된 IUH의 縮距는 水文曲線의 下降部(減水曲線)에서 상당한 偏差를 보였으나, Smoothing 方法과 單位圖의 定義(1cm의 直接流出量)에 맞도록 調整하여 流域에 適用할 수 있는 IUH를 Fig. 5에서 처럼 얻었다.

無心川代表流域의 IUH를 Fig. 2에 정의된 것처럼 D시간만큼遲滯시켜個個遲滯時間에該當하는交点  $t_p$ 와時刻  $t_p$ 에서의 IUH의縱距值, 即交点流量  $U(o, t_p)$ 을求하였다. 時刻  $t_p$ 에 있어서의  $U(o, t_p)$ 는式(3)으로부터 알 수 있는 바와 같이 時刻  $t_p$ 까지의流出容積으로부터時刻( $t_p - D$ )까지의流出容積을뺀値을時間  $D$ 로나누면 얻을 수 있다. 그런데 IUH의어떤時刻까지의流出容積은 IUH의 S-Curve縱距值와 같으므로  $U(D, t_p)$ 는Fig. 6에서처럼 IUH의 S-Curve를  $D$ 시간만큼遲滯시켜  $t_p$ 時間에 있어서의 S-Curve縱距差를求한 후  $D$ 로나누어 주면 된다.

上述한方法으로求한無心川代表流域의  $U(D, t_p)$ 는表-2와 같으며, 따라서式(14)의左邊值인交点流量比를計算할 수 있다.

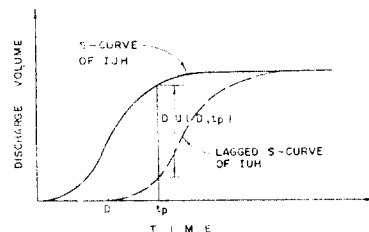
FIG. 6 EVALUATION OF  $U(D, t_p)$ 

表-2 交点流量比曲線의計算

有効雨量持続時間 $D(\text{hr})$	尖端雨量 到達時間 $t_p(\text{hr})$	$U(o, t_p)$ ( $\text{m}^3/\text{sec}$ )	$U(D, t_p)$ ( $\text{m}^3/\text{sec}$ )	$U(o, t_p)$ $U(D, t_p)$
1	8.60	5.11	4.90	1.043
2	9.20	4.92	4.80	1.025
3	9.70	4.58	4.76	0.962
4	10.25	4.06	4.60	0.883
5	10.85	3.55	4.50	0.789
6	11.50	3.08	4.27	0.721
7	12.15	2.62	4.09	0.641
8	12.90	2.20	3.85	0.570

#### 4. 設計降雨曲線의 計算

式(10)의右邊値와有効雨量의持続時間  $D$ 間의關係曲線인設計降雨曲線은設計降雨의特性과損失雨量의크기 및分布에左右된다.

Fig. 3으로부터 알 수 있듯이有効雨量의持続時間  $D$ 는 다음 式으로 表示할 수 있다.

$$D = t - \frac{IL}{f_t} \quad (15)$$

따라서式(14)의右邊値는設計降雨의總持続期間, 設計降雨強度 및平均浸透率에 의해有限階差法(finite difference method)으로計算될 수 있다.

即

$$\begin{aligned} \frac{dI_t}{dD} &= \frac{-(D_t + D_s)(I_{t_1} - I_{t_2})}{2(D_t - D_s)} \\ (I_t - f) &= \frac{1}{2}(I_{t_1} + I_{t_2} - 2f) \\ &= \frac{(D_t + D_s)(I_{t_1} - I_{t_2})}{(D_t - D_s)(I_{t_1} + I_{t_2} - 2f)} \end{aligned} \quad (16)$$

式(16)의 計算을위해서는流域의設計降雨強度(持続期間別)가必要한데無心川代表流域의 경우는資料期間이짧아 아직도持續期間別設計降雨強度의計算이되어있지않다. 따라서本研究에서는清州資料<sup>(\*)</sup>를使用키로하였다.

表-3은1976年度IHP報告書의再現期間別,持続期間別降雨量으로부터降雨強度를計算하여収録한것이며, Fig. 7은無心川代表流域의降雨強度( $I$ )-持続期間( $t$ )-再現期間( $T$ )關係를表示하고있다.

表-3 再現期間別降雨強度別降雨強度(清州)										再現期間 Year
再現期間 Year	0.25	0.50	0.75	1.0	1.5	2.0	2.5	3.0	3.5	4.0
10	84.95	96.96	105.1	111.16	113.9	116.76	116.82	117.91	118.57	120.36
20	99.79	106.04	106.47	106.85	109.40	113.97	116.26	117.53	118.42	121.72
30	107.93	115.29	115.63	116.01	116.75	117.66	118.00	119.75	121.40	125.63
50	119.76	125.12	127.77	128.86	127.12	130.14	136.31	137.01	139.04	138.46
100	134.50	142.02	142.77	143.86	142.12	145.14	146.31	147.01	148.04	147.46
再現期間 Year	4.5	5.0	5.5	6.0	6.5	7.0	7.5	8.0	8.5	9.0
10	18.89	19.84	19.92	16.36	16.61	15.93	14.50	14.08	13.55	13.14
20	22.51	23.17	23.11	19.22	18.44	17.75	17.12	16.75	16.05	15.56
30	24.13	25.82	25.73	26.77	19.93	19.17	18.50	17.89	17.31	16.52
50	26.79	25.36	24.13	23.61	24.19	21.30	23.55	24.47	19.79	19.70

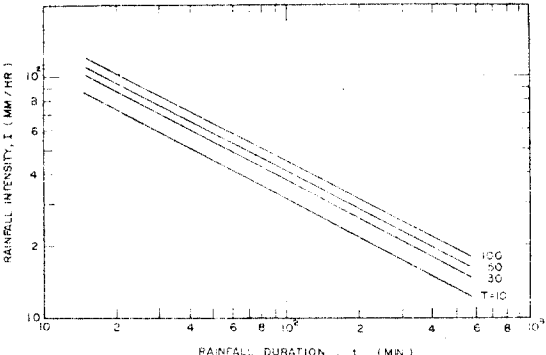


FIG. 7 RAINFALL INTENSITY-DURATION-FREQUENCY (MUSIM CHEON).

이들關係를回帰分析(regression analysis)에의하여表示하면式(17)과 같다.

$$I = \frac{2.9059 T^{0.1513}}{t^{0.5184}} \quad (17)$$

한편 初期降雨損失量(IL)과平均浸透率(f)의決定<sup>(\*)</sup>은流域의土壤条件 및先行降水等 여러因子에 따라適切하게決定되어야하겠으나, 本流域의 경우는 아직具体的的研究가되어있지않으므로流域의規模나土壤条件으로보아比較的適切하다고判断되는 두가지경우即,  $IL = 5\text{ m}$ ,  $f = 5\text{ mm/hr}$ 의 경우와  $IL = 10\text{ m}$ ,  $f = 5\text{ mm hr}$ 의 두 경우를包含하는몇가지경우를考慮

表 - 4 降雨曲線計算例

再現期間  $T = 10$  年, 初期損失雨量  $IL = 10 \text{ mm}$ , 終期浸透能  $f = 5 \text{ mm/hr}$ 

持続期間 $t(\text{hr})$	降雨強度 $It(\text{mm hr})$	有効雨量時間 $D(\text{hr})$	$D - \frac{f}{k}(D_1 + D_2)$ (hr)	$It_1 - It_2$ ( $\text{mm}/\text{hr}$ )	$It_1 + It_2 - 2f$ ( $\text{mm}/\text{hr}$ )	$D_1 + D_2$ (hr)	$D_1 - D_2$ (hr)	$\phi^*$
0.25	84.4881	0.1316	0.2311	0.4621	25.4963	133.4799	0.1988	0.4439
0.50	58.9917	0.3305	0.4357	0.8713	11.1800	96.8034	0.2104	0.4784
0.75	47.6117	0.5408	0.6490	1.2981	6.6222	79.0012	0.2164	0.5029
1.00	41.1895	0.7572	0.9788	1.9577	7.8062	64.5728	0.4432	0.5339
1.50	33.3833	1.2004	1.4264	2.8527	4.6238	52.1429	0.4518	0.5599
2.00	26.7596	1.6523	1.8810	3.7620	3.1407	44.3784	0.4574	0.5821
2.50	25.6189	2.1097	2.3403	4.6806	2.3098	38.9280	0.4613	0.6020
3.00	23.3091	2.5710	2.8031	5.6063	1.7897	34.8285	0.4643	0.6204
3.50	21.5194	3.0353	3.2687	6.5373	1.4388	31.6001	0.4667	0.6378
4.00	20.0806	3.5020	3.7363	7.4727	1.1890	28.9722	0.4687	0.6544
4.50	18.8914	3.9707	4.2058	8.4116	1.0038	26.7794	0.4703	0.6705
5.00	17.8878	4.4410	4.6768	9.3536	0.8621	24.9154	0.4717	0.6862
5.50	17.0257	4.9127	5.1491	10.2982	0.7507	23.3007	0.4729	0.7016
6.00	16.2750	5.3856	5.6225	11.2451	0.6613	21.8887	0.4740	0.7168
6.50	15.6157	5.8595	6.0970	12.1940	0.5883	20.6392	0.4749	0.7318
7.00	15.0254	6.3345	6.5723	13.1447	0.5277	19.5251	0.4758	0.7468
7.50	14.4977	6.8102	7.0485	14.0970	0.4769	18.5185	0.4765	0.7618
8.00	14.0208	7.2868	7.5254	15.0508	0.4337	17.6080	0.4772	0.7767
8.50	13.5872	7.7640	8.0029	16.0059	0.3966	16.7778	0.4779	0.7917
9.00	13.1906	8.2419						

하였다.

$$\delta = (D dt) / (dD) / (It - f)$$

이를 경우에 대하여 式(16)의 方法으로 無心川 代表流域에 대한 設計降雨曲線 作成에 必要한 値을 再現期間 10年, 30年, 50年, 및 100年에 대하여 計算하였으며, 計算例가 表 - 4에 表示되어 있다.

### 5. 設計有効雨量의 持續期間 決定

式(14)의 左邊과 右邊사이에 等式가 成立하여, 이 等式關係를 滿足시키는 有効雨量의 持續期間이 바로 子하고자 하는 持續期間  $D_c$  (Fig. 4. 參照)이다.

따라서 이 条件은 第3節에서 求한 交点流量比 曲線 (hydrograph curve)과 第4節에서 求한 設計降雨曲線 (rainfall curve)을 同一座標上에 그려 그 交点이 表示하는 有効雨量의 持續期間을 求하면 되는 것이다.

表 - 2의 計算結果를 線型方眼紙에 表示한 것이 Fig. 8 ~ Fig. 11에 表示된 無心川 流域의 交点流量比 曲線이며, 같은 方眼紙上에 表 - 4에 計算된 節次에 의해 4個 再現期間別(10, 30, 50, 100年)로 設計降雨 曲線을 計算하여 그 結果를 曲線의 形態로 表示하였다.

交点流量比 曲線과 再現期間別 設計降雨曲線의 交点으로 定義되는 設計有効雨量의 持續期間( $D_c$ )은 두 曲

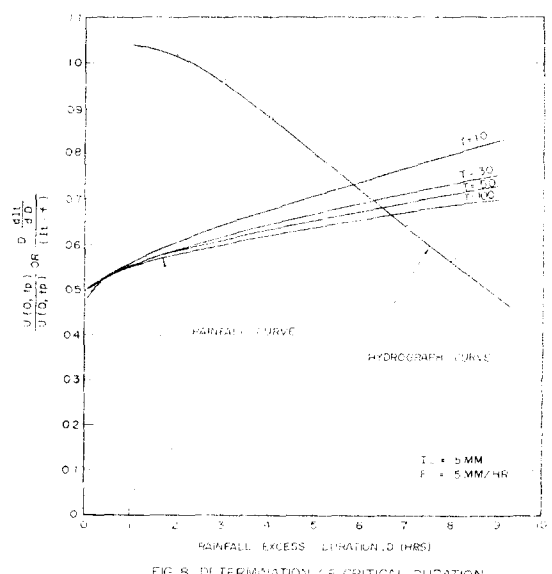
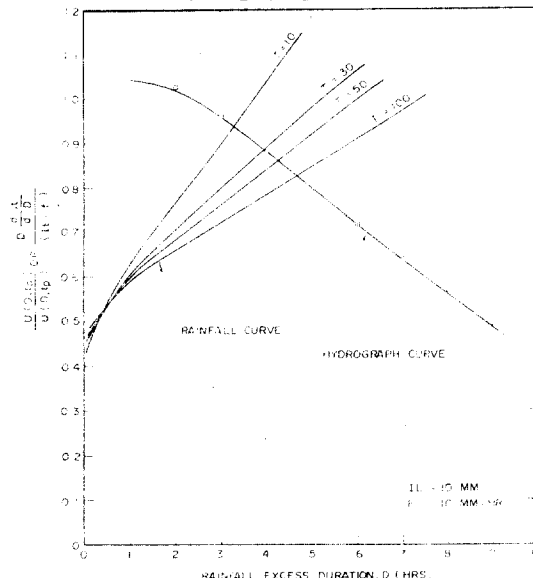
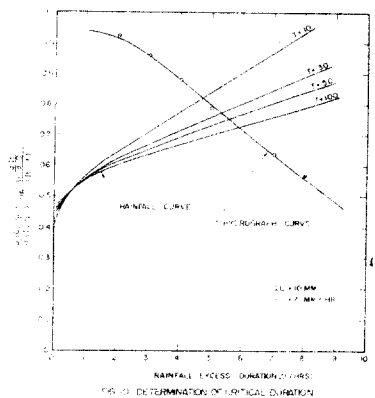
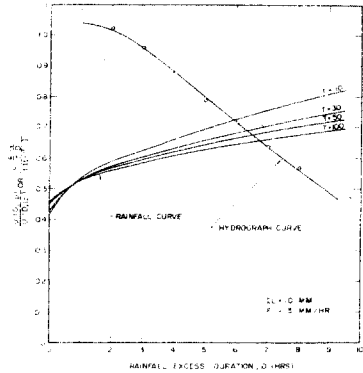


FIG. 8. TERMINATION OF CRITICAL DURATION.

線의 方程式을 求하여 聯立으로 求할 수도 있고, 그림으로부터 그 値을 推定할 수도 있으며, 그 結果가 表 - 5와 表 - 6에 収録되어 있다.



이들 표에서 알 수 있는 바와 같이, 有効雨量의 設計持続期間은 再現期間에 따라 걸어질 뿐만 아니라, 初期損失量을 크게 잡은 경우 ( $IL = 10\text{ mm}$ )가 작게 잡은 경우 ( $IL = 5\text{ mm}$ )보다 약간 더 걸어질 수 있으나, 初期損失量의 크기는 持続期間에 그다지 큰 影響을 미치지 않는 것으로 나타났다. 한편 平均浸透率을 크게 잡은 경우 ( $f = 5\text{ mm/hr}^{-1}$ )가 크게 잡은 경우 ( $f = 10\text{ mm hr}^{-1}$ ) 보다 有効雨量의 持続期間은 훨씬 크게 나타나, 平均浸透率의 持続期間에 미치는 影響은 매우 큰 것으로 나타났다.

## 6. 結論

瞬間單位流量圖理論을 適用하여 解析的 方法으로 有効雨量의 持続期間을 決定하는 方法을 實際流域인 無心川 代表流域에 適用한 結果, 다음과 같은 結論을 얻었다.

1. 有効雨量의 持続期間을 試行錯誤의 複雜한 過程을 거치지 않고 解析的으로 求할 수 있다.
2. 初期降雨損失量은 持続期間에 큰 影響을 미치지 않는다.
3. 平均浸透率의 크기는 持続期間에 큰 影響을 미치므로 流域의 平均浸透率決定에 注意를 要한다.
4. 流域의 持続期間別 設計降雨強度, 初期降雨損失量 및 平均浸透率等의 資料不足으로, 限定位 確度를 提示하지 못하였고 이른바 試行錯誤法과도 比較를 否하였으나 持続期間 決定에 有用한 方法으로 思料된다.

表-5 設計有効雨量의 持続時間決定(初期損失量變化)  
(单位: hr)

浸透條件	再現期間(年)	10	30	50	100
		IL = 5 mm	IL = 7 mm	IL = 10 mm	IL = 12 mm
f = 5 mm hr <sup>-1</sup>	IL = 5 mm	5.88	6.34	6.52	6.73
	IL = 7 mm	5.90	6.37	6.55	6.78
	IL = 10 mm	5.94	6.41	6.59	6.82
	IL = 12 mm	5.97	6.44	6.63	6.85

表-6 設計有効雨量의 持続時間決定(平均浸透率變化)  
(单位: hr)

IL	再現期間(年)	10	30	50	100
		f = 5 mm hr <sup>-1</sup>	f = 7 mm hr <sup>-1</sup>	f = 10 mm hr <sup>-1</sup>	f = 12 mm hr <sup>-1</sup>
IL = 10 mm	f = 5 mm hr <sup>-1</sup>	7.08	7.12	7.11	7.55
	f = 7 mm hr <sup>-1</sup>	5.94	6.41	6.58	6.82
	f = 10 mm hr <sup>-1</sup>	4.71	6.34	6.61	5.94
	f = 12 mm hr <sup>-1</sup>	3.32	3.94	4.25	4.67

## 參考文献

1. U.S. Department of Agriculture, Soil Conservation Service, "Hydrology-Watershed Planning," in National Engineering Handbook, Section 4, Part 1, Government Printing Office, Washington, D. C., 1964.
2. Chow, V. T., "Hydrologic Design of Culverts," Journal of Hydraulics Div., ASCE Vol. 88, No. HY2, 33-55, 1962.
3. Pullen, R. A., "Synthetic Unit Hydrographs for South Africa," Report No. 3/69, Hydrol. Res. Unit, University of Witwatersrand, Johannesburg, South Africa, December, 1969.
4. Cordery, I. and S. N. Webb, "Flood Estimation in Eastern New South Wales... A Design Method," Transaction, Inst. Eng. Australia, CE16(1), 87-93, 1974.
5. Dooge, J. C. I., "A general theory of the Unit Hydrograph," Journal, Geophysical Research, 64(2), 241-256, 1959.
6. 建設部, 國際水文開発計劃 代表流域研究調査 報告書, 1976.
7. Chow, V. T., "Hydrologic Determination of Waterway Areas for the Design of Drainage Structures in Small Drainage Basins," Engineering Experiment Station Bulletin No. 462, University of Illinois, Urbana, 1962.
8. 李淳赫, "再現期間別 確率降雨強度式 計定式 開拓 水文統計学の 考察 - 漢州地方を 中心とす -," 韓國 農工 会誌 第 17 卷 2 号, 1975.
9. 建設部, 國際水文開発計劃 代表流域研究調査 報告書, 1978.